

УДК 539.12

**К. Нурлан, М. К. Волков, А. А. Пивоваров**

### Распад $\tau \rightarrow K^- \nu_\tau$ в модели Намбу – Иона-Лазинио

*В модели НИЛ вычислена вероятность распада  $\tau$ -лептона на  $K^-$ -мезон и нейтрино. Расчеты приведены в рамках стандартной и расширенной модели НИЛ. Рассматриваемый процесс идет через промежуточный аксиально-векторный  $K_1$ -мезон как в основном, так и в радиально-возбужденных состояниях. Рассчитана константа слабого взаимодействия  $G_K$ . Дано сравнение результатов, полученных с использованием стандартной и расширенной модели НИЛ. Эти результаты находятся в удовлетворительном согласии с экспериментальными данными.*

*Ключевые слова: КХД при низких энергиях, модель Намбу – Иона-Лазинио, спонтанное нарушение киральной симметрии, распад  $\tau$ -лептона, основные и радиально возбужденные состояния мезонов.*

#### Об авторах

**Волков Михаил Константинович** — доктор физико-математических наук, профессор, главный научный сотрудник НОТФВ, ЛТФ, ОИЯИ.

**Пивоваров Алексей Александрович** — младший научный сотрудник, НОТФВ, ЛТФ, ОИЯИ.

**Нурлан Канат** — студент-магистр кафедры «Ядерная физика» Государственного университета «Дубна».

Использование теории возмущений КХД при низких энергиях, невозможна в силу большой величины константы взаимодействия. Действительно, в области энергий ниже 2 ГэВ константа связи  $\alpha_s$  перестает быть малой величиной. И здесь оказывается необходимым применение феноменологических моделей.

Среди этих феноменологических моделей одна из наиболее плодотворных можно считать модель Намбу – Иона-Лазинио (НИЛ), основанная на спонтанном нарушении киральной симметрии [1—6; 8; 9; 11]. В  $U(3) \times U(3)$  симметричной НИЛ модели можно описать внутренние свойства и сильные, слабые и электромагнитные взаимодействия 4 мезонных нонетов: скалярных, псевдоскалярных, векторных и аксиально-векторных мезонов в основном состоянии.

Модель НИЛ основана на эффективном 4-кварковом взаимодействии, которое можно записать в кирально-симметричной форме [1].

$$L(\bar{q}, q) = \bar{q} (i\hat{\partial} - M^0) q +$$

$$+ \frac{G_1}{2} \{ (\bar{q} \lambda^\alpha q)^2 + (\bar{q} i \gamma_5 \lambda^\alpha q)^2 \} - \frac{G_2}{2} \left[ (\bar{q} \gamma_\mu \lambda^\alpha q)^2 + (\bar{q} \gamma_5 \gamma_\mu \lambda^\alpha q)^2 \right]. \quad (1)$$

Используя метод функционального интегрирования и вводя вспомогательные бозонные поля, можно придти к функциональному интегралу по кварковым полям гауссова типа, а также вид взаимодействия бозонов с кварками. Далее при использовании однопетлевых кварковых приближений, бозонные поля превращаются в поля реальных скалярных, псевдоскалярных, векторных, аксиально-векторных мезонов. При этой процедуре возникает механизм спонтанного нарушения киральной симметрии, благодаря которому легкие токовые кварки приобретают дополнительные динамические массы за счет кваркового конденсата и превращаются в более тяжелые составляющие кварки. При этом происходит динамическое нарушение киральной симметрии. В результате перенормировки этих полей получается спектр масс, указанных выше мезонов, а также константа взаимодействия этих мезонов друг с другом. При этом ультрафиолетовые расходимости в кварковых петлях устраняются с помощью единого параметра обрезания  $\Lambda$ .

Преимуществом модели является минимальное число произвольных параметров: массы составляющих кварков  $m_u = m_d = 280 \text{ MeV}$ ,  $m_s = 420 \text{ MeV}$ , единый параметр четырехмерного обрезания  $\Lambda = 1250 \text{ MeV}$ . В стандартной НИЛ модели мы можем изучать только мезоны в основных состояниях. Для того, чтобы включить в рассмотрение мезоны в первых радиально-возбужденных состояниях, необходимо ввести простейшие формфакторы в эффективном 4-кварковом взаимодействии. В импульсном пространстве они имеют довольно простую форму в виде полиномов второй степени по поперечному импульсу  $k_\perp$  кварков:  $f(k_\perp) = c(I + d|k_\perp|^2)\theta(\Lambda_3 - |k_\perp|)$ .

В расширенной модели НИЛ в исходном лагранжиане возникает недиагональная квадратичная форма основных и возбужденных состояний мезонов. В результате диагонализации свободных лагранжианов получаем новые поля, которые являются линейными комбинациями старых, при них возникают коэффициенты, содержащие углы смешивания этих состояний [13—18].

В рамках расширенной модели НИЛ были успешно описаны некоторые распады тау-лептона  $\tau \rightarrow \pi^- \omega \nu$  [12],  $\tau^- \rightarrow \pi^- \pi^0 \nu_\tau$  [19],  $\tau^- \rightarrow (\eta, \eta') \pi \nu_\tau$  [20],  $\tau \rightarrow K^- \pi^0 \nu_\tau$  [21] при низких энергиях.

Основной задачей данной работы является описание распада  $\tau \rightarrow K^- \nu_\tau$  в рамках модели НИЛ и вычисление константы  $F_K$ . Так как масса тау-лептона  $1777 \text{ MeV}$ , поэтому учитываются основные и только первые радиально-возбужденные состояния мезонов. Описание таких состояний обеспечивается в расширенной модели НИЛ.

**Распад  $\tau \rightarrow K^- \nu_\tau$  в стандартной модели Намбу – Иона-Лазинио**

Кварк-мезонный лагранжиан взаимодействия в стандартной модели НИЛ для распада  $\tau \rightarrow K^- \nu_\tau$  [1; 13]:

$$L = \bar{q} (\lambda^+ i \gamma_5 g_k K^+ + \lambda^- i \gamma_5 g_k K^-) q. \quad (2)$$

$$\lambda^+ = \frac{\lambda_4 + i \lambda_5}{\sqrt{2}} = \sqrt{2} \begin{pmatrix} 0 & 0 & 1 \\ 0 & 0 & 0 \\ 0 & 0 & 0 \end{pmatrix},$$

$$\lambda^- = \frac{\lambda_4 - i \lambda_5}{\sqrt{2}} = \sqrt{2} \begin{pmatrix} 0 & 0 & 0 \\ 0 & 0 & 0 \\ 1 & 0 & 0 \end{pmatrix}.$$

где  $\lambda_4, \lambda_5$  – матрицы Гелл-Мана;  $g_k$  – константа перенормировки мезонного поля;  $\gamma_5$  – матрица Дирака.

Напишем лагранжиан, описывающий слабое взаимодействие лептонного тока с кварками:

$$L^{weak} = \bar{\tau} \gamma_\mu \gamma_5 \nu \frac{G_F}{\sqrt{2}} |V_{us}| \bar{s} \gamma_5 \gamma_\mu u,$$

где  $G_F = 1.1663787(6) \cdot 10^{-11} \text{ MeV}^{-2}$  – константа Ферми;  $L_\mu = \bar{\nu}_\nu \gamma_5 \gamma_\mu \nu_\tau$  – лептонный ток;  $|V_{us}|$  – элемент матрицы Кабиббо-Кабаяши-Маскава.

Как было показано в модели НИЛ, основные физические величины выражаются через логарифмически расходящийся интеграл  $I_2^\Lambda(m)$ , возникающий при рассмотрении кварковых петель:

$$I_2^\Lambda(m_u, m_s) = -\frac{3i}{(2\pi)^4} \int \frac{d^4 k \theta(\Lambda^2 - k^2)}{[m_u^2 - k^2][m_s^2 - k^2]} =$$

$$= \frac{3}{(4\pi)^2} \frac{1}{(m_s^2 - m_u^2)} \left[ m_s^2 \ln \left( \frac{\Lambda^2}{m_s^2} + 1 \right) - m_u^2 \ln \left( \frac{\Lambda^2}{m_u^2} + 1 \right) \right],$$

где  $\Lambda$  – параметр обрезания, определяющий область применимости модели НИЛ.

$$\Lambda = 1250 \text{ MeV}, \quad g_k = \sqrt{Z_k} g.$$

$$g = (4I_2^\Lambda(m))^{-1/2}.$$

$$Z_k = \left( 1 - \frac{3(m_u + m_s)^2}{2M_{k_1}^2} \right)^{-1}.$$

В стандартной НИЛ модели основной вклад в ширину распада  $\tau \rightarrow K^- \nu_\tau$  дает диаграмма с одной кварковой петлей (рис. 1).

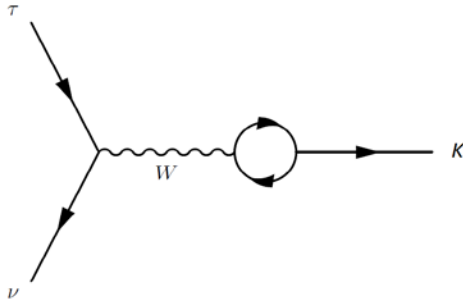


Рис. 1. Диаграмма распада  $\tau \rightarrow K^- \nu_\tau$

Амплитуду для данного распада, воспользовавшись лагранжианом (2), можем написать:

$$A_{\tau \rightarrow K^- \nu_\tau} = \frac{M_W^2 G_F}{2^{1/4}} [\bar{u}_\nu \gamma_\mu \gamma_5 u_\tau] \frac{-i}{q^2 - M_W^2} \left[ g^{\mu\nu} - \frac{q^\mu q^\nu}{M_W^2} \right] \times \\ \times \frac{\sin \theta}{2^{1/4}} i \sqrt{2} g_K 3 \int \gamma_5 G(k+p) \gamma_\nu \gamma_5 G(k) \frac{d^4 k}{(2\pi)^4}. \quad (3)$$

Тройка перед интегралом возникла от учета цвета кварков,  $G(k+p)$ ,  $G(k)$  – кварковые пропагаторы.

Соответствующая амплитуда в однопетлевом приближении принимает форму:

$$A_{\tau \rightarrow K^- \nu} = \frac{G_F}{\sqrt{2}} L_\mu |V_{us}| H_\mu^{(1)}. \quad (4)$$

где  $H_\mu^{(1)}$  – адронный ток в однопетлевом приближении.

$$H_\mu^{(1)} = 3ig^{\mu\nu} \sqrt{2} g_K \int \gamma_5 G(k+p) \gamma_\nu \gamma_5 G(k) \frac{d^4 k}{(2\pi)^4} = \\ = 3ig^{\mu\nu} \sqrt{2} g_K \int \frac{Sp \left\{ \gamma_5 \gamma_\nu (\hat{p} + \hat{k} + m_u) \gamma_5 (\hat{k} + m_s) \right\}}{[m_u^2 - (k+p)^2][m_s^2 - k^2]} \frac{d^4 k}{(2\pi)^4}.$$

В данном интеграле, находим след матриц, где  $\hat{p} = \gamma^\nu p_\nu$ ,  $\hat{k} = \gamma^\nu k_\nu$ :

$$Sp \left\{ \gamma_5 \gamma_\nu (\hat{p} + \hat{k} + m_u) \gamma_5 (\hat{k} + m_s) \right\} = \\ = 4((m_s - m_u)k^\nu + m_s p^\nu).$$

Вклад в адронный ток в однопетлевом приближении:

$$H_\mu^{(1)} = 3ig^{\mu\nu} \sqrt{2} g_K \int \frac{4((m_s - m_u)k^\nu + m_s p^\nu)}{[m_u^2 - (k+p)^2][m_s^2 - k^2]} \frac{d^4 k}{(2\pi)^4}.$$

Рассмотрим интеграл отдельно:

$$\int \frac{4((m_s - m_u)k^\nu + m_s p^\nu)}{[m_u^2 - (k+p)^2][m_s^2 - k^2]} \frac{d^4 k}{(2\pi)^4} = \\ = \int \frac{4((m_s - m_u)k^\nu + m_s p^\nu)}{[m_u^2 - k^2][m_s^2 - k^2] \left[ 1 - \frac{2pk + p^2}{m_u^2 - k^2} \right]} \frac{d^4 k}{(2\pi)^4}.$$

В знаменателе  $p^2$ -членами можем пренебречь, остальные члены разложим в ряд Тейлора:

$$\frac{1}{1 - \frac{2pk}{m_u^2 - k^2}} = 1 + \frac{2pk}{m_u^2 - k^2} + \frac{4p^2 k^2}{[m_u^2 - k^2]^2} + \dots$$

Отсюда получаем  $I_2^\Lambda(m_u, m_s)$  – логарифмически расходящийся интеграл, который имеет обрезание на верхнем пределе  $\Lambda$ . Учитываются только расходящиеся части интеграла, при этом отбрасывается импульсная зависимость этих интегралов. Только при таком условии удастся сохранить кирально-симметричную структуру лагранжиана.

В результате для вклада в амплитуду адронного тока в однопетлевом приближении получим:

$$H_\mu^{(1)} = \sqrt{2} g^{\mu\nu} p^\nu Z_K 4I_2^\Lambda(m_u, m_s) \frac{m_u + m_s}{2} g_K. \quad (5)$$

Окончательно амплитуда в однопетлевом приближении для данного распада имеет вид:

$$A_{\tau \rightarrow K^- \nu} = G_F |V_{us}| L_\mu g^{\mu\nu} Z_K p^\nu \frac{m_u + m_s}{2g}, \quad (6)$$

где  $p^\mu$  – импульс каона, отсюда можно выразить тождество Голдбергера – Треймана:

$$F_k = \frac{m_u + m_s}{2g}, \quad F_k = 93 \text{ MeV},$$

$$A_{\tau \rightarrow K^- \nu} = G_F |V_{us}| L_\mu Z_k F_{k_1} p^\mu. \quad (7)$$

массы кварков и мезонов соответственно  $m_u = 280 \text{ MeV}$ ,  $m_s = 420 \text{ MeV}$ ,

$$M_{K_1} = 1270 \text{ MeV}.$$

$$Z_k = \left( 1 - \frac{3(m_u + m_s)^2}{2M_{k_1}^2} \right)^{-1}.$$

При учете процесса с промежуточными аксиально-векторным  $K_1$ -

мезоном (рис. 2) приходим к следующему выражению:

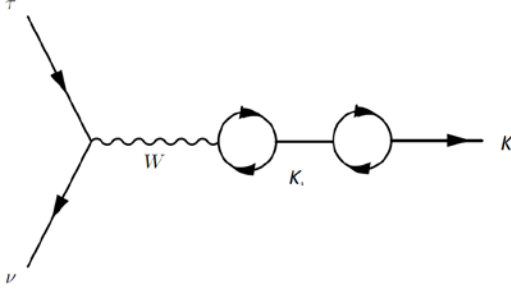


Рис. 2. Диаграмма распада  $\tau \rightarrow K_1 \rightarrow K^- \nu_\tau$

$$A_{\tau \rightarrow K_1 \rightarrow K^- \nu} = \frac{G_F}{\sqrt{2}} L_\mu |V_{us}| H_\mu^{(2)},$$

$H_\mu^{(2)}$  – вклад в адронный ток в двухпетлевом приближении с учетом промежуточного  $K_1$ -мезона.

$$H_\mu^{(2)} = g^{\mu\nu} \left( i\sqrt{2} \frac{g_{K^*}}{2} \right) 3T_1 \left( i\sqrt{2} \frac{g_{K^*}}{2} \right) \times \\ \times BW 3\sqrt{2} g_k T_2, \quad (8)$$

где

$$T_1 = \int \frac{Sp \left[ \gamma_5 \gamma_\nu (\hat{k} + \hat{p} + m_u) \gamma_\mu \gamma_5 (\hat{k} + m_s) \right] d^4 k}{\left[ m_u^2 - (k+p)^2 \right] \left[ m_s^2 - k^2 \right]} (2\pi)^4, \quad (9)$$

$$T_2 = \int \frac{Sp \left[ \gamma_5 \gamma_\lambda (\hat{k} + \hat{p} + m_u) \gamma_5 (\hat{k} + m_s) \right] d^4 k}{\left[ m_u^2 - (k+p)^2 \right] \left[ m_s^2 - k^2 \right]} (2\pi)^4.$$

$g_{K^*} = \sqrt{6} g_k$ ,  $BW$  – пропагатор Брейта – Вигнера, соответствующий промежуточному  $K_1$ -мезону. В знаменателе пропагатора Брейта – Вигнера мы пренебрегли массой каона по сравнению с массой  $K_1$ -мезона:

$$BW = \frac{1}{M_{k_1}^2 - p^2 - iM_{k_1} \Gamma_{k_1}} \approx \frac{1}{M_{k_1}^2}. \quad (10)$$

Интеграл  $T_2$  вычисляется выше указанным образом. Интеграл  $T_1$  вычисляется, как показано в работах [16; 19]:

$$Sp \left\{ \gamma_5 \gamma_\nu (\hat{k} + \hat{p} + m_u) \gamma_\mu \gamma_5 (\hat{k} + m_s) \right\} = \\ = Sp \left\{ \gamma_\nu (\hat{k} + \hat{p} + m_u) \gamma_\mu (\hat{k} + m_s) \right\}$$

$$-Sp \left\{ 2m_u \gamma_\nu \gamma_\mu (\hat{k} + m_s) \right\}.$$

$$T_1 = T_1' + T_1'', \quad (11)$$

$$\text{где } T_1' = \int \frac{Sp \left[ \gamma_\nu (\hat{k} + \hat{p} + m_u) \gamma_\mu (\hat{k} + m_s) \right] d^4 k}{\left[ m_u^2 - (k+p)^2 \right] \left[ m_s^2 - k^2 \right]} (2\pi)^4,$$

$$T_1'' = \int \frac{Sp \left[ 2m_u \gamma_\nu \gamma_\mu (\hat{k} + m_s) \right] d^4 k}{\left[ m_u^2 - (k+p)^2 \right] \left[ m_s^2 - k^2 \right]} (2\pi)^4.$$

Для первой части, можно использовать форму, описанный в работе [9]. В итоге получим:

$$T_1 = \int \frac{Sp \left[ \gamma_5 \gamma_\nu (\hat{k} + \hat{p} + m_u) \gamma_\mu \gamma_5 (\hat{k} + m_s) \right] d^4 k}{\left[ m_u^2 - (k+p)^2 \right] \left[ m_s^2 - k^2 \right]} (2\pi)^4 \Rightarrow$$

$$\Rightarrow 4I_2^\Lambda(m_u, m_s) \frac{1}{M_{k_1}^2} \left[ g^{\mu\nu} p^2 + p^\nu p^\mu - \frac{3}{2}(m_u + m_s)^2 \right],$$

$$T_2 = \sqrt{2} g^{\mu\nu} p^\nu Z_K 4I_2^\Lambda(m_u, m_s) \frac{m_u + m_s}{2} g_k. \quad (12)$$

В итоге для вклада в адронный ток в двухпетлевом приближении получим:

$$H_\mu^{(2)} = \sqrt{2} g^{\mu\nu} p^\nu 4I_2^\Lambda(m_u, m_s) \frac{m_u + m_s}{2} g_k (1 - Z_K). \quad (13)$$

Амплитуда вероятности в двухпетлевом приближении с промежуточным аксиально-векторным  $K_1$  мезоном имеет вид:

$$A_{\tau \rightarrow K_1 \rightarrow K^- \nu} = G_F |V_{us}| L_\mu (1 - Z_K) F_{k_2} p^\mu. \quad (14)$$

$$F_k = (1 - Z_K) \frac{m_u + m_s}{2} g_k. \quad (15)$$

Напишем амплитуду вероятности для распада  $\tau \rightarrow K \nu_\tau$  как сумму однопетлевого и двухпетлевого приближения:

$$A_{\tau \rightarrow K^- \nu} = G_F |V_{us}| L_\mu F_k p^\mu. \quad (16)$$

$$F_k \approx F_\pi = 93 \text{ MeV}.$$

Вычислим квадрат амплитуды для нахождения ширины распада  $\tau \rightarrow K^- \nu_\tau$ :

$$\frac{1}{2} |A_{\tau \rightarrow K^- \nu}|^2 = \frac{1}{2} |A_1 + A_2|^2 = 4G_F^2 |V_{us}|^2 m_\tau^3 E_\nu F_k^2.$$

Для нахождения ширины распада  $\tau \rightarrow K^- \nu$  стандартным образом надо интегрировать по фазовому объему:

$$\begin{aligned} \Gamma(\tau \rightarrow K\nu_\tau) &= \int \frac{|A|^2}{4m_\tau} d\Phi = \\ &= \int \frac{|A|^2}{4m_\tau} \frac{d^3k_\nu}{2E_\nu(2\pi)^3} \frac{d^3k_k}{2E_k(2\pi)^3} (2\pi)^4 \delta^4(k_\nu + k_k - k_\tau) = \\ &= \frac{|A|^2}{4m_\tau 16\pi^2} \int \frac{d^3k_\nu}{E_\nu E_k} \delta(E_\nu + E_k + E_\tau), \quad (17) \end{aligned}$$

где  $E_\nu = \frac{m_\tau^2 - m_k^2}{2m_\tau}$  энергия нейтрино в системе покоя  $\tau$  лептона. В результате получаем:

$$\Gamma(\tau \rightarrow K\nu_\tau) = \frac{G_F^2 |V_{us}|^2 F_k^2}{8\pi m_\tau} \left[ 1 - \frac{m_k^2}{m_\tau^2} \right]^2. \quad (18)$$

$$\Gamma(\tau \rightarrow K\nu_\tau)_{theor} = 1.12 \cdot 10^{-11} MeV.$$

Сравним это выражение  $\Gamma(\tau \rightarrow K^-\nu_\tau)_{theor} = 1,12 \cdot 10^{-11} MeV$  с известным [10] из эксперимента  $\Gamma(\tau \rightarrow K^-\nu_\tau)_{exp} = (1.59 \pm 0.02) \cdot 10^{-11} MeV$ .

Как видно теоретически полученный результат заметно меньше экспериментального значения.

### Распад $\tau \rightarrow K^-\nu_\tau$ в расширенной модели НИЛ

В расширенной модели НИЛ описываются основные и первые радиально-возбужденные состояния мезонов. Поэтому в лагранжиан вводятся формфакторы для каждого кварк-антикваркового тока. При этом сохраняются киральная симметрия и ее механизм спонтанного нарушения и массы составляющих кварков.

Кварк-мезонный лагранжиан взаимодействия в расширенной модели НИЛ для распада  $\tau \rightarrow K^-\nu_\tau$  [14; 17; 18]:

$$\begin{aligned} L_{int}(q, \bar{q}, K) &= \bar{q} [i\gamma_5 \sum_{j=\pm} \lambda_j^K (a_K K^j + b_K K'^j)] q + \\ &+ \bar{q} \left[ \frac{1}{2} \gamma_\mu \gamma_5 \sum_{j=\pm} \lambda_j (a_{K_1} K_{K_1\mu}^j + b_{K_1} K'_{K_1\mu}{}^j) \right] q, \quad (19) \end{aligned}$$

$$\begin{aligned} a_a &= \frac{1}{\sin(2\beta_a^0)} \{ g_a \sin(\beta_a + \beta_a^0) + \\ &+ g_a' f_a(k^2) \sin(\beta_a - \beta_a^0) \}, \quad (20) \end{aligned}$$

$$b_a = \frac{-1}{\sin(2\beta_a^0)} \{ g_a \cos(\beta_a + \beta_a^0) +$$

$$+ g_a' f_a(k^2) \cos(\beta_a - \beta_a^0) \}, \quad (21)$$

$$\lambda^+ = \frac{\lambda_4 + i\lambda_5}{\sqrt{2}} = \sqrt{2} \begin{pmatrix} 0 & 0 & 1 \\ 0 & 0 & 0 \\ 0 & 0 & 0 \end{pmatrix},$$

$$\lambda^- = \frac{\lambda_4 - i\lambda_5}{\sqrt{2}} = \sqrt{2} \begin{pmatrix} 0 & 0 & 0 \\ 0 & 0 & 0 \\ 1 & 0 & 0 \end{pmatrix}.$$

где  $\lambda_4, \lambda_5$  – матрицы Гелл-Мана;  $g_k, g_k'$  – константы перенормировки мезонного поля,  $\gamma_5$  – матрица Дирака.

Амплитуда распада  $\tau \rightarrow K^-\nu_\tau$  в расширенной модели НИЛ имеет вид:

$$A_{\tau \rightarrow K\nu} = G_F |V_{us}| L_\mu \left[ H_\mu^{(1)} + H_\mu^{(2)} + H_\mu^{(3)} \right], \quad (22)$$

где  $L_\mu$  – лептонный ток;  $H_\mu^{(1)}$  – вклад в адронный ток в однопетлевом приближении;  $H_\mu^{(2)}$  – вклад в адронный ток промежуточного  $K_1(1270)$  мезона;  $H_\mu^{(3)}$  – вклад в адронный ток первого радиально возбужденного состояния  $K_1'(1650)$ .

$$H_\mu^{(1)} = Z\sqrt{2} \frac{m_u + m_s}{2g_k} p^\mu, \quad (23)$$

$$\begin{aligned} H_\mu^{(2)} &= -Z\sqrt{2} \frac{3(m_u + m_s)^2}{2m_{K_1}^2} \frac{m_u + m_s}{2g_k} \times \\ &\times \left[ \frac{\sin(\beta + \beta_0)}{\sin(2\beta_0)} + Rv \frac{\sin(\beta - \beta_0)}{\sin(2\beta_0)} \right]^2, \quad (24) \end{aligned}$$

$$\begin{aligned} H_\mu^{(3)} &= -Z\sqrt{2} \frac{3(m_u + m_s)^2}{2m_{K_1}^2} \frac{m_u + m_s}{2g_k} \times \\ &\times \left[ \frac{\cos(\beta + \beta_0)}{\sin(2\beta_0)} + Rv \frac{\cos(\beta - \beta_0)}{\sin(2\beta_0)} \right]^2 \quad (25) \end{aligned}$$

массы кварков соответственно  $m_u = 280 MeV$ ,  $m_s = 420 MeV$ . Где

$$Rv = \frac{I_2^{fus}(m_u, m_s)}{\sqrt{I_2(m_u, m_s) I_2^{fus}(m_u, m_s)}} = 0,49. \quad (26)$$

Значения углов  $\beta = 84,7^\circ$ ,  $\beta_0 = 59,56^\circ$  для первого радиально-возбужденного состояния взяты из [14; 17].

$$\begin{aligned} \frac{1}{2}|A_{\tau \rightarrow K\nu}|^2 &= \frac{1}{2}|A_1 + A_2 + A_3|^2 = \\ &= 4G_F^2 |V_{us}|^2 m_\tau^3 E_\nu F_k^2. \end{aligned}$$

Отсюда можно выразить константу слабого взаимодействия  $F_k$  [1; 7]:

$$\begin{aligned} F_k &= \frac{m_u + m_s}{2g_k} \left\{ Z - Z \frac{3(m_u + m_s)^2}{2m_{K_1}^2} \times \right. \\ &\quad \times \left[ \frac{\sin(\beta + \beta_0)}{\sin(2\beta_0)} + R\nu \frac{\sin(\beta - \beta_0)}{\sin(2\beta_0)} \right]^2 + \\ &\quad \left. + Z \frac{3(m_u + m_s)^2}{2m_{K_1}^2} \left[ \frac{\cos(\beta + \beta_0)}{\sin(2\beta_0)} + R\nu \frac{\cos(\beta - \beta_0)}{\sin(2\beta_0)} \right]^2 \right\}. \end{aligned}$$

$$\begin{aligned} F_K &= 169,44 \text{ MeV} - 63,34 \text{ MeV} + \\ &\quad + 8,1 \text{ MeV} = 114,2 \text{ MeV}. \end{aligned}$$

$$F_K = 1,2 F_\pi.$$

Для нахождения ширины распада  $\tau \rightarrow K^- \nu$  стандартным образом надо интегрировать по фазовому объему.

$$\Gamma(\tau \rightarrow K\nu_\tau)_{theor} = 1.7 \cdot 10^{-11} \text{ MeV}.$$

Сравним ширину распада  $\Gamma(\tau \rightarrow K\nu_\tau)_{theor} = 1.7 \cdot 10^{-11} \text{ MeV}$  с экспериментом [10].  $\Gamma(\tau \rightarrow K^- \nu_\tau)_{exp} = (1,59 \pm 0,02) \cdot 10^{-11} \text{ MeV}$ . Следует отметить, что в стандартной модели НИЛ было получено значение  $\Gamma(\tau \rightarrow K\nu_\tau)_{theor} = 1.12 \cdot 10^{-11} \text{ MeV}$ . Расширенная модель дает согласованный результат с экспериментом.

### Библиографический список

1. Боголюбов, Н. Н. Введение в теорию квантованных полей / Н.Н. Боголюбов, Д.В. Ширков. – Москва : Наука, 1973.

2. Волков, М. К. Существенно нелинейные квантовые теории, динамические симметрии и физика мезонов / М.К. Волков, В.Н. Первушин. – Москва : Атомиздат, 1978.

3. Волков, М. К. Низкоэнергетическая физика мезонов в кварковой модели сверхпроводящего типа / М.К. Волков // ФЭЧАЯ. – 1986. – Т. 17, вып. 3.

4. Волков, М. К. Четырехкварковые взаимодействия как общий динамический источник  $\sigma$ -модели и модели векторной доминантности / М.К. Волков, Д. Эберт // Препринт ОИЯИ. – 1981. – P2-81-836.

5. Волков, М. К. Модель Намбу-Иона-Лазинио и ее развитие / М.К. Волков, А.Е. Раджабов // УФН. – 206. – Т. 176, № 6.

6. Ahmadov, A. I. The decay  $\tau \rightarrow (\pi, \pi')\nu_\tau$  in the Nambu-Jona-Lasinio model / A.I. Ahmadov, M.K. Volkov // Phys. Part. Nucl. Lett 12. – 2015. – P. 744–750.

7. Ahmadov A.I., Kalinovsky Yu.L., Volkov M.K. Int. J. Mod. Phys. A 30. — 2015. — P. 26.

8. Eguchi T. Phys. Rev. D14. — 1976.

9. Nambu Y., Jona-Lasinio G. // Phys. Rev. – 1961. — V. 122. — P. 345–358.

10. Okun, L. B. Leptons and Quarks / L.B. Okun. – Москва : Наука, 1990.

11. Olive K.A. et al. Particle Data Group Collaboration. Chin. Phys. C. – 2014. — V. 38.

12. Volkov M.K. // Ann. Phys. New York. — 1984. – V. 157, 282.

13. Volkov M.K., Yudichev V.L. // ЭЧАЯ. – 2000. – № 31. – С. 576.

14. Volkov M.K., Arbuzov A.B., Kostunin D.G. // Phys. Rev. – 2014. – С. 89.

15. Volkov M.K., Arbuzov A.B., Kostunin D.G. // Phys. Rev. C. 89. – 2014.

16. Volkov M.K., Arbuzov A.B., Kostunin D.G. // Phys. Rev. D86. – 2012.

17. Volkov M.K., Kostunin D.G. // PEPAN Lett. 10. – 2013. – P. 18–23.

18. Volkov M.K., Kostunin D.G. // Phys. Rev. D86. – 2012.

19. Volkov M.K., Pivovarov A.A. // Mod. Phys. Lett A31. – 2016.

Поступила в редакцию  
15.08.2016